

ارائه رویکردی بهبود یافته جهت شناسایی موجک مبانی بهینه برای تحلیل داده‌ها در حوزه علوم زمین

فرناز قریشی^(۱)، بهزاد تخم‌چی^(۲)، امین روشن‌دل کاهو^(۳) و حسین احمدی نوبری^(۴)

۱. دانشجوی کارشناسی ارشد مهندسی نفت، گروه اکتشاف معدن، دانشکده مهندسی معدن، نفت و ژئوفیزیک، دانشگاه شاهروド

۲. دانشیار گروه اکتشاف معدن، دانشکده مهندسی معدن، نفت و ژئوفیزیک، دانشگاه شاهروド

۳. استادیار گروه اکتشاف معدن، دانشکده مهندسی معدن، نفت و ژئوفیزیک، دانشگاه شاهروド

۴. استاد گروه کترل، دانشکده مهندسی برق و کامپیوتر، دانشگاه تهران

تاریخ دریافت: ۹۲/۸/۲

تاریخ پذیرش: ۹۳/۴/۲۳

چکیده

ابزارهای تحلیل سیگنال همچون تبدیل‌های گوناگون، در شناسایی و استخراج هر چه بیشتر اطلاعات از سیگنال‌ها به کمک محققین آمداند. در میان این ابزارها، تبدیل موجک به عنلت ویژگی‌های مطلوبش مورد اقبال روزافزون قرار گرفته است. مسئله این است که در این تبدیل، توابع موجک مادر گوناگونی را می‌توان به کار گرفت که انتخاب هر یک از آن‌ها تأثیر مستقیم بر روی تحلیل و نتیجه به دست آمده خواهد داشت. در کنار روش‌های گوناگونی که برای ساختن موجک مبانی بهینه منطبق بر سیگنال مورد بررسی ارائه شده، روش‌هایی نیز برای انتخاب موجک مبانی بهینه از میان توابع موجود معرفی شده‌اند. با انتخاب روش تطابق انرژی معمول و اعمال آن بر روی داده‌ها، ضعف عملکرد این روش در گزینش موجک مبانی بهینه در دو بخش مشاهده شد. تبدیل تفریق میانگین به عنوان راهکاری قابل تعمیم جهت آماده‌سازی داده‌ها قبل از استفاده از روش تطابق انرژی پیشنهاد گردید. استفاده از این تبدیل ساده به انتخاب موجک مبانی بهینه و رسیدن به پاسخ‌های یکتا در دو بخش مورد سوال انجامید.

واژه‌های کلیدی: تبدیل فوریه، تبدیل موجک، موجک مبانی بهینه، روش تطابق انرژی، روش تطابق انرژی بهبودیافته، تبدیل تفریق میانگین.

مقدمه

امروزه با توجه به ویژگی تبدیل موجک در دستیابی توأم به قدرت تفکیک فرکانسی و مکانی و با ممکن ساختن تحلیل چند درجه تفکیکی، این تبدیل، کاربرد فراوانی در میان اکثر علوم یافته است. جستجو در میان مجموعه مقالات سایت‌های علمی، حاکی از رشد روزافزون کاربرد تبدیل موجک در حوزه علوم زمین است. در بسیاری از این مطالعات، به طور معمول دلیلی برای گزینش موجک مبانی مورد استفاده ذکر نشده است. این در حالی است که نوع موجک مبانی استفاده شده در حل مسئله مؤثر بوده و یافتن موجک مطلوب، چالش پیش رو می‌باشد.

برخی از محققان به بررسی تأثیر انتخاب موجک مبانی مناسب پرداخته (Mojsilovic' et al., 2000; Farina et al., 2007; Ji-ang et al., 2011; Imtiaz et al., 2013 Ahuja et al., 2005; Singh and Ti-wari, 2006; Brechet et al., 2007 Rafiee et al., 2010; Hsu, 2007; Li et al., 2009 Karel et al., 2005)، برخی نیز به ابداع روش‌هایی برای یافتن موجک مبانی بهینه از میان موجک‌های موجود اقدام کرده‌اند (Castro et

مختلط می‌باشد. تبدیل فوریه، اطلاعاتی در مورد سهم حضور فرکانس‌های مختلف در سیگنال در اختیار ما می‌گذارد (Stark, 2005). ضعف این تبدیل آن است که از تابع تحلیل ثابتی استفاده می‌کند و قدرت تفکیک زمانی نیز ندارد. علاوه‌بر آن این تبدیل برای سیگنال‌های پایا مناسب است.

به‌منظور ارتقای تبدیل فوریه و دستیابی به قدرت تفکیک زمانی، در تبدیل مذکور پنجره‌ای در نظر گرفته شده است. به این ترتیب سیگنال در بازه‌های زمانی محدود، به اندازه طول پنجره تعريف شده، مورد بررسی قرار می‌گیرد. به این تبدیل که سیگنال را از حوزه زمان به حوزه زمان و فرکانس می‌برد، تبدیل فوریه زمان کوتاه یا تبدیل فوریه پنجره‌دار می‌گویند (Stark, 2005):

$$\hat{f}_w(\omega, t^*) = \int_{-\infty}^{\infty} f(t) e^{j\omega t} w(t - t^*) dt \quad (2)$$

که در آن $w(t-t^*)$ تابع پنجره بوده و مرکز آن بر زمان t^* تنظیم شده است. به کمک این تبدیل، سهم حضور مؤلفه فرکانسی خاص در بازه زمانی خاص محاسبه می‌شود. به این معنی که می‌توان به‌طور محلی، زمان حضور مؤلفه مذکور را نیز محاسبه کرد (Stark, 2005). به این صورت این تبدیل برای بررسی سیگنال‌های نایابا مناسب گردیده و مشکل قدرت تفکیک زمانی موجود در تبدیل فوریه نیز بر طرف شده است. در مقابل این افزایش قدرت تفکیک زمانی، طبق اصل عدم قطعیت هایزنبیرگ، قدرت تفکیک فرکانسی حاصله کاهش یافته و کمتر از قدرت تفکیک فرکانسی تبدیل فوریه شده است.

تئوری موجک

تئوری موجک برای غلبه بر مشکلات تبدیل فوریه و فوریه زمان کوتاه ارائه گردیده است. در تبدیل موجک، تابع تحلیل و تابع پنجره در هم ادغام شده و به عنوان تابع موجک مادر معرفی شده است؛ در این صورت می‌توان با افزایش فرکانس تابع تحلیل به‌طور همزمان عرض تابع پنجره را کم کرد (Stark, 2005).

$$L_\Psi f(a, b) = \int_{-\infty}^{\infty} f(t) |a|^{-\frac{1}{2}} \Psi\left(\frac{t-b}{a}\right) dt \quad (3)$$

در این رابطه $\Psi(t)$ موجک مادر یکتا، a پارامتر تغییر مقیاس و b پارامتر انتقال (هر دو عضو مجموعه اعداد حقیقی) و $L_\Psi f(a, b)$ تبدیل موجک پیوسته است. ضرب $|a|^{-\frac{1}{2}}$ فاکتور نرمال‌سازی بوده و برای از بین بردن اثر مقیاس از موجک‌های دارای مقیاس‌های مختلف استفاده می‌شود. با افزایش a ، موجک پاریکتر شده و با تغییر a و b ، حالت‌های تغییر مقیاس یافته و جایجا شده موجک مادر انتخابی $\Psi(t)$ به دست می‌آید. این تبدیل به‌دلیل یافتن سهم حضور یک مؤلفه فرکانسی خاص در سیگنال

(al., 2000). برای یافتن موجک مبتدا، روش‌های متعدد پیشنهاد شده که می‌توان به تطابق طیف موجک با طیف سیگنال در دست بررسی (Chapa and Rao, 1995)، معیار آنتروپی (Wechsler, and Huang, 1999; Li et al., 2009; Hong and Kim, 2004 Chapa and Rao, 2000; Nielsen et al., 2008 Tokhmechi et al., 2009) و الگوریتم تطابق انرژی (Lucas et al., 2006 عزیزی و همکاران, 2006) اشاره نمود.

در برخی از مطالعاتی که تاکنون انجام گرفته است برای گزینش موجک مبنای بهینه در تجزیه سیگنال، از روش تطابق انرژی به‌خوبی استفاده شده است. برای مثال (Tokhmechi et al. 2009) در هفت چاه یکی از میادین نفتی جنوب ایران، موجک مبنای بهینه را به روش تطابق انرژی شناسایی نموده‌اند.

در این مقاله، در مسیر یافتن تابع موجک بهینه به روش الگوریتم تطابق انرژی، نتیجه‌ای برای انتخاب موجک مبنای بهینه برای برخی از محدوده‌های چاه به دست نیامده و در برخی محدوده‌ها نیز چندین پاسخ به دست آمده است. یک کلاس‌بندی برای تشخیص محدوده‌هایی که الگوریتم تطابق انرژی برای آن‌ها مناسب است، صورت گرفت و هم‌زمان ویژگی محدوده‌هایی که این روش برای آن‌ها به جواب نمی‌رسد، شناسایی شد. در نهایت برای یافتن موجک مبنای مناسب نگاره‌ای دسته دوم، از یک تبدیل ساده و نیز قابل تعمیم به نگاره‌ای دسته اول به نام تبدیل تفریق میانگین¹ استفاده گردید و موجک مبنای سایر محدوده‌های چاه نیز تعیین شد.

مبانی روش‌ها تبدیل فوریه و فوریه زمان کوتاه

ابزارهای ریاضی مختلفی چون تبدیل فوریه، تبدیل موجک زمان کوتاه و تبدیل موجک برای تحلیل سیگنال‌ها و به‌منظور استخراج اطلاعات مفیدتر از آن‌ها ارائه شده است. مفید بودن اطلاعات استخراجی به هدف کاربر بستگی دارد. تبدیل فوریه روشی قوی در رسیدن به این هدف می‌باشد. این تبدیل، با ضرب داخلی تابع تحلیل در سیگنال، سیگنال را از حوزه زمان به حوزه فرکانس برده و ویژگی‌های سیگنال را آشکار می‌سازد (Goswa and Chan , 2011

$$\hat{f}(\omega) = f(t) e^{j\omega t} = \int_{-\infty}^{\infty} f(t) e^{j\omega t} dt \quad (1)$$

که در آن $e^{j\omega t}$ تابع تحلیل، $f(t)$ سیگنال مورد بررسی و $\hat{f}(\omega)$ تبدیل فوریه آن است. ویژگی مورد بررسی در تبدیل فوریه، فرکانس زاویه‌ای بوده و تابع تحلیل در این تبدیل، یک تابع

1. Zero mean Transform

2. Fourier Transform

3. Short Time Fourier Transform (STFT)

4. Wavelet Transform

5. Windowed Fourier Transform

با موجک‌های مادر مختلف، با انرژی حاصله از تبدیل فوریه مقایسه می‌شود. موجک مادری که انرژی حاصل از تجزیه‌اش تطابق بهتری با انرژی حاصل از تبدیل فوریه دارد، موجک مبنای انتخابی می‌باشد (عزیزی و همکاران، ۱۳۹۰).

داده‌ها

داده‌های مورد استفاده در این تحقیق، داده‌های آموزشی موجود در نرمافزار همپسون-راسل بوده که مربوط به میدان Black-foot در آلبرتای مرکزی است (Russell et al., 2001). پایگاه داده تخلخل در این نرمافزار، تنها شامل ۷ چاه از مجموعه چاههای حفر شده در میدان مذکور است (شکل ۱). از میان نگارهای برداشت شده در این چاهها، داده‌های مربوط به دو نگار «تخلخل به دست آمده از چگالی» (جدول ۱) و «چگالی (جدول ۲)»، از نرمافزار استخراج و مورد استفاده قرار گرفت. در ادامه، با در نظر گرفتن تغییرات مقادیر نگارها و خصوصیات آماری آن‌ها (شکل ۲)، هر چاه به سه زون تقسیم شد. همان‌طور که در شکل ۲-الف مشاهده می‌شود، معیار میانگین در نگار تخلخل به دست آمده از چگالی برای جدایش بخش ابتدایی، خوب و برای جدایش دو بخش دیگر نسبتاً خوب عمل نموده است. در شکل ۲-پ نیز عملکرد خوب این معیار در جدایش بخش ابتدایی نگار چگالی دیده می‌شود. با توجه به شکل ۲-ب و ۲-ت، معیار انحراف معیار به جدایش بخش‌های میانی و انتهایی هر دو نگار کمک نموده است. به این ترتیب روش مورد نظر بر روی ۴۲ محدوده چاه مورد استفاده قرار گرفت:

$$42 \text{ محدوده} = (3 \times 7 \text{ چاه})$$

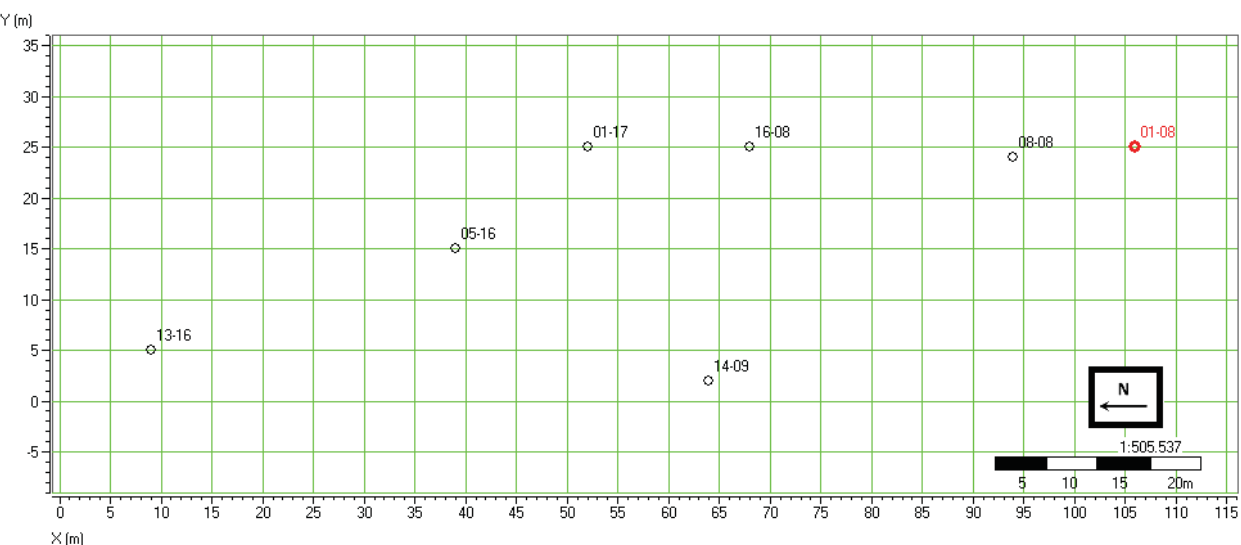
نتایج

به کمک روش تطابق انرژی ذکر شده، انتخاب موجک مبنای برای نگار تخلخل به دست آمده از چگالی به خوبی ممکن گردید (جدول ۳). این انتخاب براساس کمترین اختلاف بین انرژی

نیست؛ بلکه به دنبال یافتن جزئیات سیگنال به اندازه (یا عرض زمانی) t در زمان t و سهم حضور این جزئیات می‌باشد (Stark, 2005).

تطابق انرژی

یکی از الگوریتم‌های کارآمد برای گزینش موجک مبنای بهینه به منظور تجزیه داده‌ها، الگوریتم تطابق انرژی است. در این الگوریتم با فرض در نظر گرفتن داده‌های نگار ورودی به عنوان یک سیگنال، ابتدا تبدیل فوریه سیگنال گرفته می‌شود. با الگوبرداری از درخت تبدیل موجک، ضرایب تبدیل فوریه سیگنال در بخش تقریب در هر مرحله از تجزیه به دو قسمت تقسیم می‌گردد. بعد از چند مرحله تجزیه، انرژی سیگنال در همه قسمت‌های حاصله محاسبه می‌شود. در گام بعد با توجه به هدف و با در نظر گرفتن ماهیت اطلاعات مورد بررسی، یکی از دو بخش جزئیات و تقریب به دست آمده انتخاب شده و تنها در آن بخش، محدوده‌های فرکانسی ای که در آن‌ها انرژی سیگنال غالب است، شناسایی می‌شوند. در این مقاله گذاشتن مقادیر زمینه، بخش تقریب انتخاب نشده و از میان بخش جزئیات هر تقریب، محدوده فرکانسی دارای انرژی سیگنال غالب انتخاب شده است. از آن‌جا که تبدیل فوریه دارای بیشترین قابلیت تفکیک فرکانسی در میان سایر تبدیل‌ها است، این محدوده‌های فرکانسی دارای انرژی غالب، هدف و یا به عبارتی معیار انتخاب موجک مینا می‌باشند. در این مقاله به انرژی به دست آمده از تبدیل فوریه، «انرژی معیار» گفته می‌شود. به عبارت دیگر، تطابق عملکرد تجزیه هر موجک مادر با تجزیه فوریه به معنی قابلیت تفکیک فرکانسی مطلوب آن موجک مادر خواهد بود (عزیزی و همکاران، ۱۳۹۰). در ادامه، سیگنال توسط موجک‌های مادر مختلف تجزیه شده و انرژی سیگنال در محدوده‌های فرکانسی که انرژی سیگنال حاصل از تبدیل فوریه آن‌ها غالب بود، محاسبه می‌شود. در محدوده فرکانسی مذکور انرژی‌های به دست آمده از تجزیه سیگنال



شکل ۱. موقعیت چاههای موجود در پایگاه داده نرمافزار همپسون-راسل در میدان Blackfoot آلبرتا (Russell et al., 2001).

جدول ۱. اطلاعات مربوط به نگار تخلخل به دست آمده از چگالی چاههای مختلف، اقتباس از نرم افزار همپسون-راسل. در این جدول اسمی چاهها، نوع نگار رانده شده در آنها، نقطه شروع و پایان نگارگیری و تعداد نمونههای برداشت شده ذکر شده است.

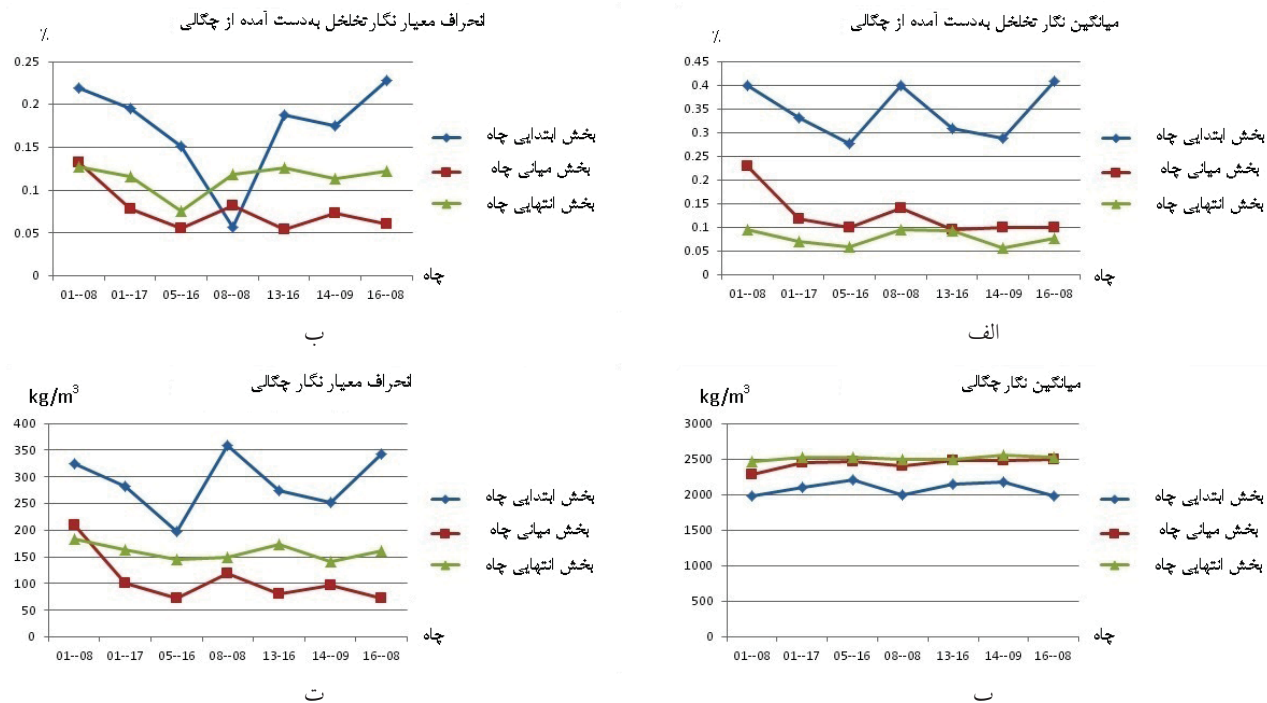
| ردیف | شماره چاه | اسم نگار | نوع نگار | شروع عمق نمونه برداری (m) | پایان عمق نمونه برداری (m) | تعداد نقاط |
|------|-----------|--------------|--------------|---------------------------|----------------------------|------------|
| ۱ | ۰۸-۰۱ | Den-porosity | Den-porosity | ۱۶۲/۰ | ۱۶۱۷/۸ | ۷۲۸۰ |
| ۲ | ۱۷-۰۱ | Den-porosity | Den-porosity | ۱۶۵/۲ | ۱۶۳۱/۲ | ۷۳۳۱ |
| ۳ | ۱۶-۰۵ | Den-porosity | Den-porosity | ۱۴۹/۲ | ۱۶۶۱/۰ | ۷۵۶۰ |
| ۴ | ۰۸-۰۸ | Den-porosity | Den-porosity | ۱۶۳/۲ | ۱۶۳۰/۸ | ۷۳۳۹ |
| ۵ | ۱۶-۱۳ | Den-porosity | Den-porosity | ۱۹۵/۲ | ۱۶۴۷/۶ | ۷۲۶۳ |
| ۶ | ۰۹-۱۴ | Den-porosity | Den-porosity | ۲۱۸/۲ | ۱۶۱۵/۲ | ۶۹۸۶ |
| ۷ | ۰۸-۱۶ | Den-porosity | Den-porosity | ۱۶۴/۴ | ۱۶۲۱/۲ | ۷۲۸۰ |

جدول ۲. اطلاعات مربوط به نگار چگالی چاههای مختلف، اقتباس از نرم افزار همپسون-راسل. در این جدول اسمی چاهها، نوع نگار رانده شده در آنها، نقطه شروع و پایان نگارگیری و تعداد نمونههای برداشت شده ذکر شده است.

| ردیف | شماره چاه | اسم نگار | نوع نگار | شروع عمق نمونه برداری (m) | پایان عمق نمونه برداری (m) | تعداد نقاط |
|------|-----------|----------|----------|---------------------------|----------------------------|------------|
| ۱ | ۰۸-۰۱ | Density | Density | ۱۶۲/۰ | ۱۶۱۵/۰ | ۷۲۶۶ |
| ۲ | ۱۷-۰۱ | Density | Density | ۱۵۶/۴ | ۱۷۰۱/۰ | ۷۷۲۴ |
| ۳ | ۱۶-۰۵ | Density | Density | ۱۴۹/۰ | ۱۷۲۲/۰ | ۷۸۶۶ |
| ۴ | ۰۸-۰۸ | Density | Density | ۱۵۱/۲ | ۱۷۲۰/۰ | ۷۸۴۵ |
| ۵ | ۱۶-۱۳ | Density | Density | ۱۹۵/۲ | ۱۶۴۶/۰ | ۷۲۵۵ |
| ۶ | ۰۹-۱۴ | Density | Density | ۲۱۸/۲ | ۱۶۱۲/۰ | ۶۹۷۰ |
| ۷ | ۰۸-۱۶ | Density | Density | ۱۶۴/۴ | ۱۶۱۹/۰ | ۷۲۷۴ |

جدول ۳. موجک مبنای انتخاب شده برای نگار تخلخل به دست آمده از چگالی در هر بخش از چاهها براساس روش تطابق انرژی معمول.

| بخش | نگار | چاه | ۱۷ - ۰۱ | ۱۶ - ۰۵ | ۰۸ - ۰۸ | ۱۶ - ۱۳ | ۰۹ - ۱۴ | ۰۸ - ۱۶ |
|-----|--------------|--------------|--------------|--------------|--------------|--------------|--------------|--------------|
| ۱ | Den-porosity | bior 5.5 | db 7 | bior 5.5 | bior 6.8 | bior 5.5 | bior 5.5 | bior 5.5 |
| ۲ | Den-porosity | Den-porosity | bior 5.5 |
| ۳ | Den-porosity |

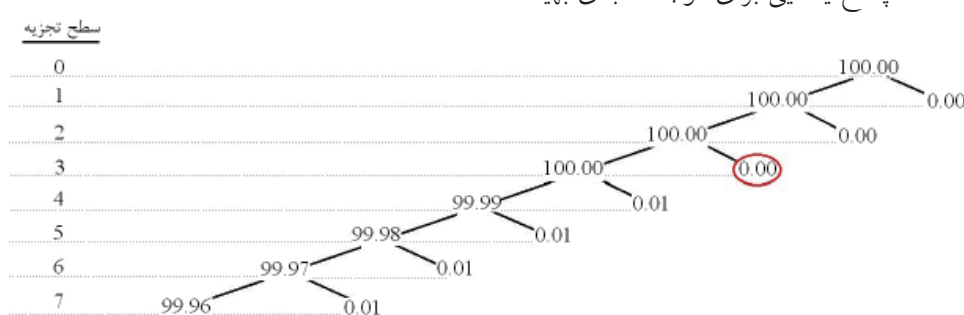


شکل ۲. خصوصیات آماری نگارها در چاههای مختلف میدان. الف) میانگین، معیار خوبی برای جداسازی نگار تخلخل بدست آمده از چگالی در بخش ابتدایی، میانی و انتهایی چاه است، ب) انحراف معیار، نگار تخلخل بدست آمده از چگالی را در بخش های میانی و انتهایی چاه جدا می سازد، پ) میانگین، نگار چگالی را تنها در بخش ابتدایی چاه جدا می سازد، ت) با کمک انحراف معیار سه بخش نگار چگالی در چاهها از هم تفکیک می شوند.

حاصل نشده است. نتایج کلی انتخاب موجک مبنای بهینه، به طور خلاصه، برای داده های نگار چگالی در همه چاهها در جدول ۵ دیده می شود.

در نگار چگالی، مطالعه بر روی ۷ محدوده مربوط به بخش میانی چاهها، این نکته را آشکار نمود که در تجزیه سیگنال با موجک مادر، تا چند سطح تجزیه، انرژی سیگنال در بخش جزئیات صفر شده و همه انرژی سیگنال در بخش تقریب قرار گرفته است (شکل ۳). در همین شکل دیده می شود که، حتی بعد از غیر صفر شدن انرژی در بخش های جزئیات هر تقریب، در مقایسه با انرژی بخش تقریب، عدد ناچیزی به عنوان انرژی بدست آمده است؛ که خود باز نمی تواند معیاری قوی در انتخاب موجک مادر مبنای باشد.

سیگنال بدست آمده از موجک مادر با انرژی معیار صورت گرفته است. روش مذکور بر روی داده های نگار چگالی در همه ۰۹-۱۴ چاهها نیز اعمال شد. همانطور که در جدول ۴ برای چاه ۰۹۰۳۲ قابل مشاهده است، انتخاب موجک مبنای تنها در بخش ابتدایی به خوبی صورت گرفته است. در این بخش دو موجک coif ۴ و rbio ۵ با نزدیکترین عدد انرژی (۱۵/۰) به انرژی معیار در این بخش (۱۸/۱)، به عنوان موجک مبنای انتخاب شده اند. در بخش میانی، با بدست آمدن انرژی معیار نزدیک به صفر (۳۲/۰۰) و ناچیز بودن اختلاف میان انرژی موجک های مادر با آن، نتیجه گرفته می شود که روش تطبیق انرژی مذکور در این بخش قادر به تعیین موجک مبنای نمی باشد. در بخش انتهایی چاه نیز با بدست آمدن مقدار انرژی مشابه (۰۵/۰۰) در خانواده های db و bior و عضو از خانواده coif، پاسخ یکتا بیانی برای موجک مبنای بهینه



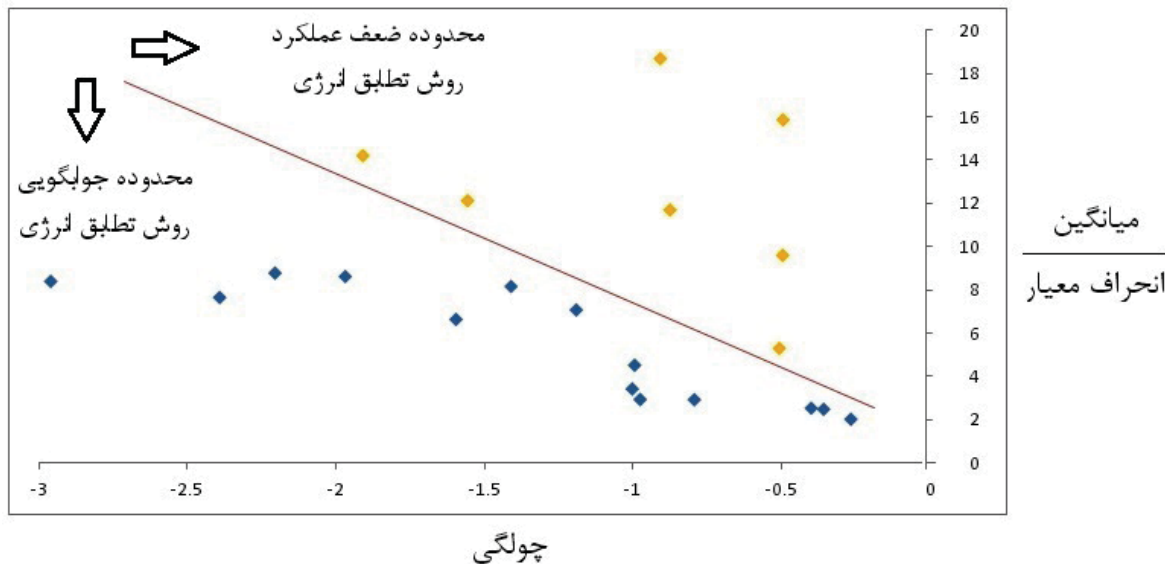
شکل ۳. تجزیه نگار چگالی چاه ۰۹-۱۴ با موجک هار تا سطح ۷. اعداد نشان داده در درخت تجزیه، معرف انرژی سیگنال در هر بخش هستند. صفر شدن انرژی سیگنال در بخش جزئیات تا سطح ۳ و ناچیز بودن انرژی در بخش های جزئیات در سطوح بعدی مشاهده می شود.

جدول ۴. نتایج بهدست آمده از اعمال روش تطابق انرژی معمول بر روی نگار چگالی چاه ۰۹-۱۴. در بخش ابتدایی چاه، دو موجک مشخص شده با نوع قلم برجسته، به عنوان موجک مبنای بهینه انتخاب شده‌اند. در بخش میانی با توجه به انرژی صفر بهدست آمده از همه موجک‌ها، انتخاب موجک مبنای بهینه ممکن نیست. در بخش انتهایی چاه نیز پاسخ یکتاپی در انتخاب موجک مبنای بهینه بهدست نیامده است. خانه‌های رنگی، انرژی هر موجک مادر را در بازه متناظر تبدیل فوریه نشان می‌دهد.

| Fourier | dmey | rbio | bior | coif | sym | db | haar | موجک نگار | | | |
|---------|------|----------|----------|--------|-------|------|------|-----------|--|--|--|
| ۰/۱۱۱۸ | ۰/۱۷ | rbio 1.5 | bior 5.5 | coif 4 | sym 7 | db 7 | ۰/۲۲ | بخش ۱ | | | |
| | | | | | | db 8 | | | | | |
| ۰/۰۰۳۲ | ۰/۰۱ | ۰/۱۵ | ۰/۱۶ | ۰/۱۵ | ۰/۱۶ | ۰/۱۹ | ۰/۰۱ | بخش ۲ | | | |
| | | rbio 1.5 | bior 2.2 | coif 1 | sym 3 | db 3 | | | | | |
| | | rbio 2.4 | bior 4.4 | coif 2 | sym 4 | db 6 | | | | | |
| | | rbio 2.6 | bior 5.5 | coif 5 | sym 5 | db 8 | | | | | |
| | | | bior 6.8 | | sym 6 | db 9 | | | | | |
| | | ۰/۰۰ | ۰/۰۰ | | sym 7 | | | | | | |
| | | ۰/۰۰ | ۰/۰۰ | | sym 8 | | | | | | |
| ۰/۰۵۱۳ | ۰/۰۶ | rbio 1.3 | bior 5.5 | coif 2 | sym 2 | db 4 | ۰/۰۷ | بخش ۳ | | | |
| | | rbio 2.8 | | coif 5 | sym 5 | | | | | | |
| | | rbio 3.3 | | ۰/۰۵ | ۰/۰۴ | | | | | | |
| | | rbio 6.8 | bior 6.8 | coif 3 | sym 8 | | | | | | |
| | | ۰/۰۴ | | coif 4 | | | | | | | |
| | | rbio 2.6 | | ۰/۰۵ | ۰/۰۳ | ۰/۰۶ | ۰/۰۵ | | | | |
| | | ۰/۰۶ | ۰/۰۵ | ۰/۰۳ | ۰/۰۶ | ۰/۰۵ | | | | | |

جدول ۵. موجک‌های مبنای انتخاب شده برای نگار چگالی در بخش ابتدایی چاه‌ها براساس روش تطابق انرژی معمول. علامت «-» به نشانه عدم توانایی روش استفاده شده و علامت «؟» به نشانه عدم رسیدن به پاسخ یکتا استفاده شده است.

| ۰۸ - ۱۶ | ۰۹ - ۱۴ | ۱۶ - ۱۳ | ۰۸ - ۰۸ | ۱۶ - ۰۵ | ۱۷ - ۰۱ | ۰۸ - ۰۱ | چاه | نگار | بخش |
|----------|--------------------|----------|----------|----------|----------|----------|---------|------|-------|
| bior 5.5 | coif 4 rbio 1.5 | bior 5.5 | bior 5.5 | bior 5.5 | bior 5.5 | rbio 2.6 | Density | ۱ | بخش ۱ |
| - | - | - | - | - | - | - | Density | ۲ | بخش ۲ |
| ؟ | ؟ | ؟ | ؟ | ؟ | ؟ | ؟ | Density | ۳ | بخش ۳ |



شکل ۴. ترسیم نمودار متقاطع میانگین نرمال شده بر انحراف معیار بر حسب چولگی در ۲۱ قطعه چاه، نگار چگالی. نقاط زرد رنگ نشانگر ۷ قطعه چاه که روش تطبیق انرژی بر روی آنها نتیجه نمی‌گیرد بوده و نقاط آبی نشانگر ۲۱ قطعه چاهی هستند که روش تطبیق انرژی در انتخاب موجک مبنای نتیجه می‌دهد.

بعد این میانگین از تمامی نمونه‌های سیگنال کسر می‌شود. در این صورت اثر بالا بودن میانگین داده‌ها از روی داده‌ها برداشته شده و در واقع از تمرکز همه انرژی سیگنال در بخش‌های تقریب تجزیه موجک جلوگیری می‌شود. در ادامه سایر مراحل انتخاب موجک مبنای بهینه، همچون روش تطبیق انرژی معمول است.

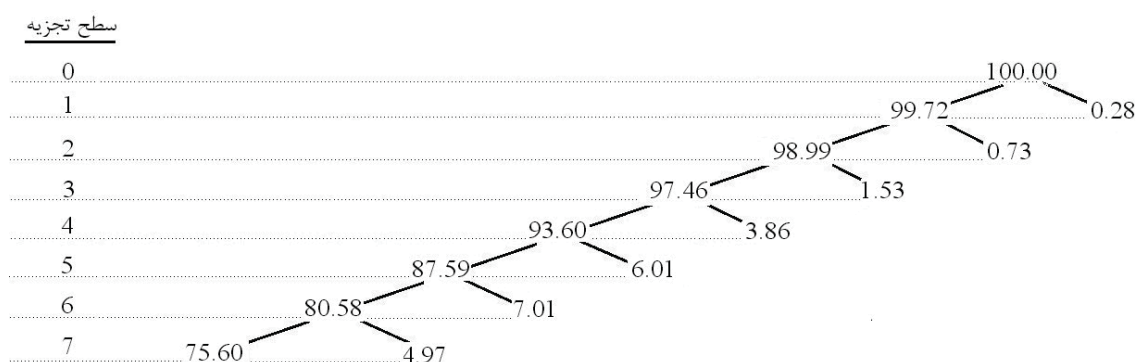
نتایج روش تطبیق انرژی بهبود یافته

در شکل ۵ بر طرف شدن مشکل تمرکز انرژی در بخش‌های تقریب نمودار تجزیه بهوضوح مشاهده می‌شود. به این ترتیب با بدست آمدن اعداد دارای تفاوت واضح نسبت به هم در بخش‌های جزئیات هر تقریب، در قطعات میانی نیز موجک مبنای انتخاب شد. با کمک روش پیشنهاد شده این مقاله، پاسخ‌های یکتا برای قطعات انتهایی چاهها نیز به دست آمده و در نهایت جدول ۵ بهصورت جدول ۶ تکمیل می‌شود.

با بررسی آماری، محدوده‌هایی از چاه‌ها که روش تطبیق انرژی معمول در آن‌ها منجر به انتخاب موجک مبنای بهینه نمی‌شود، از سایر محدوده‌ها تفکیک شد (شکل ۴). طراحی ریاضی خط جدایش (طبقه‌بندی کننده خطی)، به سادگی امکان‌پذیر است. از آنجا که جدایش صرفاً در فضای دو بعدی ((چولگی) و «میانگین بر انحراف معیار») نگار چگالی است، لذا برای اجتناب از پیچیدگی، رسم این خط به صورت دستی انجام گرفته است.

روش تطبیق انرژی بهبود یافته مبانی روش

به منظور توسعه و بهبود روش تطبیق انرژی معمول، تبدیل تقریق میانگین برای داده‌های ۱۴ قطعه چاه مورد استفاده قرار گرفت تا بتوان با روش تطبیق انرژی بهبود یافته، موجک مبنای در این قطعات مشخص کرد و یا پاسخ یکتا به دست آورد. برای اعمال این تبدیل، ابتدا میانگین سیگنال به دست آمده و در گام



شکل ۵. تجزیه نگار چگالی چاه ۰۹-۱۴ با موجک هار تا سطح ۷. اعداد نشان داده شده در درخت تجزیه، معرف انرژی سیگنال در هر بخش هستند. تمرکز انرژی سیگنال در بخش تقریب مشاهده نمی‌شود.

جدول ۶. موجک‌های مبنای انتخاب شده برای نگار چگالی در بخش میانی و انتهایی چاهها براساس روش تطابق انرژی بهبودیافته.

| بخش | نگار | چاه | بخش | ١٧ - ٠٥ | ١٦ - ٠٨ | ١٣ - ١٦ | ١٤ - ٠٩ | ١٦ - ١٦ |
|-------|------|---------|----------|----------|----------------------|----------|---------|----------|
| بخش ۲ | | Density | bior 1.3 | coif 5 | db 10 | db 1 | db 1 | db 1 |
| بخش ۳ | | Density | demy | bior 3.3 | bior 1.1 rbio 1.1 | bior 1.3 | coif 1 | rbio 5.5 |

recognition. SPIE's 1995 Symposium on OE/Aerospace Sensing and Dual Use Photonics. International Society for Optics and Photonics, 2491, 518-529.

- Chapa, J.O. and Rao, R.M., 2000. Algorithms for designing wavelets to match a specified signal. *Signal Processing*, IEEE Transactions on, 48, 12, 3395-3406.

- Farina, D., Nascimento, O.F.D., Lucas, M.F. and Doncarli, C., 2007. Optimization of wavelets for classification of movement-related cortical potentials generated by variation of force-related parameters. *Journal of Neuroscience Methods*, 162, 1-2, 357-363.

- Goswami., J.C. and Chan, A.K., 2011. Fundamentals of Wavelets: Theory, Algorithms and Applications. Wiley Series in Microwave and Optical Engineering, Second Edition, 380.

- Hong, J.C. and Kim Y., 2004. Determination of the optimal Gabor wavelet shape for the best time-frequency localization using the entropy concept. *Experimental Mechanics*, 44, 4, 387-395.

- Hsu, P.H., 2007. Feature extraction of hyperspectral images using wavelet and matching pursuit. *ISPRS Journal of Photogrammetry and Remote Sensing*, 62, 2, 78-92.

- Iftiaz, H. and Fattah, S.A., 2013. A wavelet-based dominant feature extraction algorithm for palm-print recognition. *Digital Signal Processing*, 23, 1, 244-258.

- Jiang, Y., Tang, B., Qin, Y. and Liu, W., 2011. Feature extraction method of wind turbine based on adaptive Morlet wavelet and SVD. *Renewable Energy*, 36, 8, 2153-2146.

- Karel, J.M.H., Peeters, R.L.M., Westra, R.L., Moermans, K.M.S., Haddad, S.A.P. and Serdijn, W.A., 2005. Optimal discrete wavelet design for cardiac signal processing. *Engineering in Medicine and Biology Society. IEEE-EMBS 2005. 27th Annual International Conference of the*.

- Li, F., Meng, G., Kazuro, K., Su, Z. and Ye, L., 2009.

نتیجه‌گیری

در این مقاله روشی ارائه شد که می‌تواند بسطی بر روش پیشنهاد شده الگوریتم تطابق انرژی در یافتن تابع موجک مادر بهینه در نظر گرفته شود. در این روش بهبودیافته، از تبدیل ساده تفریق میانگین بر روی داده‌ها، پیش از بهکارگیری الگوریتم تطابق انرژی استفاده شد. تبدیل تفریق میانگین با حذف اثر میانگین داده‌ها از آن‌ها، از انباسته شدن انرژی در بخش‌های خاص تجزیه موجک مادر جلوگیری می‌کند. با استفاده از این روش بهبودیافته، انتخاب موجک مبنای بهینه و رسیدن به پاسخ یکتا در همه قطعات نگارهای چاه ممکن گردید.

سپاسگزاری

بدین وسیله از جناب آقای دکتر محمد کنشلو بهدلیل راهنمایی‌های بی‌دریغ ایشان تقدیر می‌گردد.

منابع

- عزیزی، ه.، تخمچی، ب.، احمدی نوبری، ح.، جبهه‌دار مارالانی، پ. و معماریان، ح.، ۱۳۹۰. اهمیت گزینش موجک مادر بهینه در تحلیل داده‌ها در حوزه علوم زمین. *فصلنامه زمین‌شناسی ایران*, ۱۸، ۷۶-۷۶.

- Ahuja, N., Lertrattanapanich, S. and Bose, N.K., 2005. Properties determining choice of mother wavelet. *Vision, Image and Signal Processing, IEE Proceedings*, 152, 5, 659-664.

- Brechet, L., Lucas, M.F., Doncarli, C. and Farina, D., 2007. Compression of Biomedical Signals With Mother Wavelet Optimization and Best-Basis Wavelet Packet Selection. *Biomedical Engineering, IEEE Transactions on*, 54, 12, 2186-2192.

- Castro, B., Kogan, D. and Geva A.B., 2000. ECG feature extraction using optimal mother wavelet. *Electrical and Electronic Engineers in Israel. The 21st IEEE Convention*.

- Chapa, J.O. and Rao, R.M., 1995. Optimal matched wavelet construction and its application to image pattern

Optimal Mother Wavelet Selection for Lamb Wave Analyses. *Journal of Intelligent Material Systems and Structures*, 20, 10, 1147-1161.

- Lucas, M.F., Gaufriau, A., Pascual, S., Doncarli C. and Farina, D., 2008. Multi-channel surface EMG classification using support vector machines and signal-based wavelet optimization. *Biomedical Signal Processing and Control*, 3, 2, 169-174.

- Mojsilovic, A., Popovic, M.V. and Rackov, D.M., 2000. On the selection of an optimal wavelet basis for texture characterization. *Image Processing, IEEE Transactions on*, 9, 12, 2043-2050.

- Nielsen, M., Kamavuako, E., Andersen, M., Lucas, M.F. and Farina, D., 2006. Optimal wavelets for biomedical signal compression. *Medical and Biological Engineering and Computing*, 44, 7, 561-568.

- Rafiee, J., Rafiee, M.A. and Tse, P.W., 2010. Application of mother wavelet functions for automatic gear and bearing fault diagnosis. *Expert Systems with Applications*, 37, 6, 4568-4579.

- Russell, B., Hampson, D., Lines, L. and Todorov, T., 2001. Combining geostatistics and multiattribute transforms—A channel sand case study. *71st Annual International Meeting, SEG, Expanded Abstracts*.

- Singh, B.N. and Tiwari, A.K., 2006. Optimal selection of wavelet basis function applied to ECG signal denoising. *Digital Signal Processing*, 16, 3, 275-287.

- Stark, H.G., 2005. *Wavelets and Signal Processing, An Application-Based Introduction*. Springer, 158.

- Tokhmechi, B., Memarian, H., Rasouli, V., Noubari, H.A. and Moshiri, B., 2009. Fracture detection from water saturation log data using a Fourier–wavelet approach. *Journal of Petroleum Science and Engineering*, 69, 1–2, 129-138.

- Wechsler, H. and Huang, J., 1999. Eye detection using optimal wavelet packets and radialbasisfunctions (RBFs). *International Journal of Pattern Recognition and Artificial Intelligence*, 13, 07, 1009-1025.